

СТРУКТУРА ВЯЗКОГО СКАЧКА В СРЕДЕ С ФАЗОВЫМ ПЕРЕХОДОМ ВТОРОГО РОДА

В.В.Гаджиева, В.Ф. Куропатенко, А.Т.Саложников

Рассмотрим структуру фронта стационарной ударной волны в вязкой сжимаемой жидкости, претерпевающей фазовый переход второго рода.

Фазовый переход будем трактовать как точечное явление, происходящее мгновенно при некоторых связанных между собой значениях давления и температуры на кривой равновесия фаз. Таким образом, мы будем пренебрегать гетерофазными флуктуациями и кинетикой фазового перехода.

Всё сказанное ниже может быть применено и к фазовому переходу первого рода, поскольку он может быть представлен, как два последовательных фазовых перехода второго рода: между исходной фазой и смесью фаз и смесью и конечной фазой.

Изменение величин P, E, V, U (P - давление, E - удельная внутренняя энергия, V - удельный объем, U - скорость) на фронте ударной волны определяется в системе координат, связанной с фронтом, интегралами уравнений газодинамики

$$\rho u = A, \quad P + \rho U^2 - S = B, \quad E + \frac{P}{\rho} + \frac{U^2}{2} - \frac{U}{\rho_0} S = C \quad (I)$$

где

$$A = \rho_0 D, \quad B = P_0 + \rho_0 D^2, \quad C = E_0 + \frac{P_0}{\rho_0} + \frac{D^2}{2},$$

$$S = \frac{4}{3} \mu \frac{dU}{dx}, \quad V = \frac{1}{\rho}$$

D - скорость вещества, втекающего во фронт, μ - вязкость, P_0, V_0, E_0 - начальные значения P, V, E .

μ - непрерывная функция ρ и E . Для замыкания системы (I) к ней нужно добавить уравнение состояния соответствующей фазы. Мы будем пользоваться зависимостью

$$E = E_k(P, V), \quad (2)$$

где k - номер фазы.

Исключая S и U из (I), получим связь между E и ρ

$$\rho^2(E-C) + E\rho - 0.5A^2 = 0 \quad (3)$$

Уравнения (I) и (3) справедливы в любой точке фронта независимо от фазы. Таким образом, профиль $E(x)$ будет непрерывен при непрерывном профиле $\rho(x)$. Если ударная волна с фазовым переходом во фронте является устойчивой и не расщепляется на две, то может быть построен непрерывный профиль плотности во фронте. В противном случае такой профиль построить невозможно. Из определения фазового перехода второго рода следует, что в этом случае будет непрерывен также и профиль давления $P(x)$, а из первого уравнения системы (I) следует непрерывность профиля $U(x)$.

Из второго уравнения системы (I) следует непрерывность S , значит, U' во фронте, в том числе и в точке фазового перехода при $\rho = \rho_\phi$ где ρ_ϕ может быть найдено из уравнения (3) и уравнения границы фаз в плоскости (ρ, E) .

Здесь штрих означает дифференцирование по x . Дифференцируя первое уравнение системы (I) для каждой из фаз в отдельности и сравнивая полученные выражения для ρ' , получим, что ρ' непрерывна при $\rho = \rho_\phi$. Из уравнения (3) следует непрерывность E' при $\rho = \rho_\phi$. Профиль $P(x)$, вообще говоря, не является гладким в точке фазового перехода. Скачок производной P' определяется дифференцированием уравнения состояния каждой из фаз. Таким образом, в точке фазового перехода наблюдается своеобразный слабый разрыв, при котором излом терпит лишь одна величина—давление.

Для примера рассмотрим фронт стационарной ударной волны в веществе с модельным уравнением состояния

$$E = \begin{cases} \frac{Pv}{\gamma - 1} & \text{при } v \geq \theta, \text{ фаза I} \\ \frac{P\theta}{\gamma - 1} & \text{при } \theta_1 \leq v < \theta, \text{ фаза 3} \\ \frac{\theta}{\theta_1} \frac{Pv}{\gamma - 1} & \text{при } v < \theta_1, \text{ фаза 2} \end{cases} \quad (4)$$

качественно описывающим поведение вещества при фазовых переходах второго рода.

Дифференцируя уравнение состояния для первой и третьей фаз, получим выражение для скачка производной

$$P'_{(3)} = P'_{(1)} + \frac{P}{\theta} V'_{(1)}. \quad (5)$$

Поскольку во фронте $V' < 0$, то кривая $p(x)$ при $V < \theta$ идёт более полого, чем в фазе I, причём с увеличением давления излом становится всё более заметным.

Влияние фазового перехода на структуру фронта ударной волны проверялось с помощью расчётов по явной, условно устойчивой разностной схеме

$$V_{i+1/2}^{n+1} = V_{i+1/2}^n + \frac{\tau}{h} (U_{i+1}^{n+1} - U_i^{n+1}),$$

$$U_i^{n+1} = U_i^n - \frac{\tau}{h} (P_{i+1/2}^n - P_{i-1/2}^n - S_{i+1/2}^n + S_{i-1/2}^n),$$

$$S_{i+1/2}^{n+1} = \frac{4}{3} \mu \frac{U_{i+1}^n - U_i^n}{h} \cdot \rho_{i+1/2}^n,$$

$$E_{i+1/2}^{n+1} = E_{i+1/2}^n - \sum_{k=1}^z (P_{i+1/2}^k) \frac{\Delta V}{z} + \frac{1}{2} (S_{i+1/2}^n + S_{i+1/2}^{n+1}) \Delta V,$$

где

$$\Delta V = V_{i+1/2}^{n+1} - V_{i+1/2}^n.$$

Давление определялось из уравнения состояния (4). Условие устойчивости было найдено по методу Неймана в виде

$$y < \sqrt{1 + z^2} - z,$$

где

$$z = \frac{4}{3} \frac{\mu \rho_0}{\sigma h}, \quad y = \frac{\tau \sigma}{h}, \quad \sigma^2 = \frac{Y P}{V} - \frac{(y-1) S}{V}. \quad (6)$$

Результаты расчетов приведены на рис. I

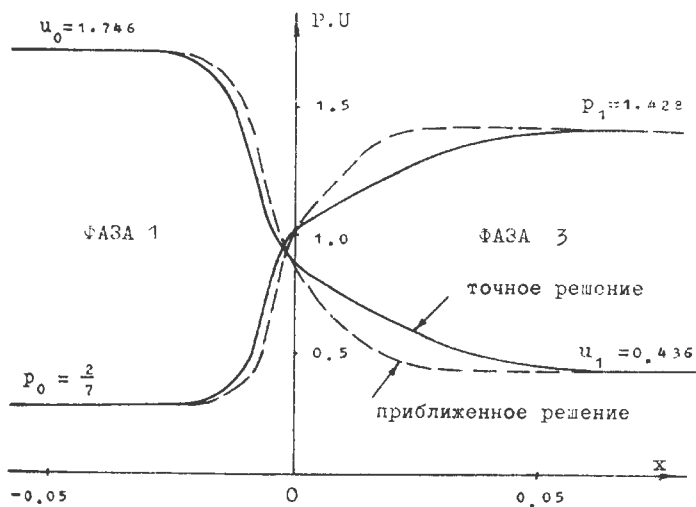


Рис. I.

Максимальное различие между аналитическим и численным решением достигает 10% и не уменьшается при измельчении сетки. Различие наступает после перехода вещества из фазы I в фазу 3 и объясняется наличием излома в давлении. В аналогичных расчётах, проведённых для идеального газа различие между аналитическим и численным решением не превосходило 1%. Несмотря на указанную выше погрешность, из рис. I видно, что в точке фазового перехода в профиле давления имеется излом.

ОБ ОДНОЙ НОВОЙ ПОСТАНОВКЕ ЗАДАЧ ВЯЗКОЙ
ЖИДКОСТИ

В.П.Громов, Б.Г.Кузнецов

I. Задача о плоском неустановившемся течении вязкой несжимаемой жидкости ставится обычно так: требуется найти функции u, v, p переменных x, y, t , удовлетворяющие в области $\Omega \times [0, T]$ системе уравнений:

$$\begin{aligned} u_t + uu_x + vv_y + p_x &= \nu(u_{xx} + u_{yy}), \\ v_t + uv_x + vv_y + p_y &= \nu(v_{xx} + v_{yy}), \\ u_x + v_y &= 0 \end{aligned} \quad (I.1)$$

при условиях:

$$u = u_0(x, y), \quad v = v_0(x, y), \quad t = 0, \quad x, y \in \bar{\Omega}, \quad (I.2)$$

$$u = U(x, y, t), \quad v = V(x, y, t), \quad (x, y, t) \in \gamma \times [0, T],$$

$$p(x_0, y_0, t) = 0, \quad (x_0, y_0) \in \bar{\Omega}, \quad \forall t \in [0, T] \quad (I.3)$$

Предполагается, что область Ω конечная, односвязная, её граница γ достаточно гладкая и

$$u_{0x} + v_{0y} = 0, \quad \oint_{\gamma} Udy - Vdx = 0, \quad \forall t \in [0, T]. \quad (I.4)$$

В некоторых случаях (например, при численном решении) удобно перейти от задачи (I.1)–(I.4) к следующей задаче: найти функции u, v, p переменных x, y, t , удовлетворяющие в $\Omega \times [0, T]$ системе уравнений:

$$\begin{aligned} u_t + \varphi_y &= v(u_{xx} + u_{yy}), \\ v_t - \varphi_x &= v(v_{xx} + v_{yy}), \end{aligned} \quad (1.5)$$

$$vu_t - uv_t + u\varphi_x + v\varphi_y = v(\varphi_{xx} + \varphi_{yy})$$

при условиях (I.2), (I.4) и дополнительном условии

$$\varphi(M, t) = v(u_y - v_x) - \int_{M_0 M} \left(\frac{\partial u}{\partial t} dy - \frac{\partial v}{\partial t} dx \right), \quad (1.6)$$

$$M_0 M \in \gamma, \quad t \in [0, T].$$

Докажем, что первая задача (I.1)-(I.4) и вторая задача (I.5), (I.6), (I.2), (I.4) в некотором смысле эквивалентны: из решения первой задачи можно найти с помощью квадратур решение второй и обратно из решения второй задачи с помощью квадратур находится решение первой.

Действительно, пусть u, v, p - некоторое, достаточно гладкое решение первой задачи (I.1)-(I.4). Дифференцируя первое уравнение (I.1) по x , второе - по y и используя третье уравнение, получим

$$\frac{\partial}{\partial x}(u u_x + v u_y + p_x) + \frac{\partial}{\partial y}(u v_x + v v_y + p_y) = 0$$

Отсюда следует, что существует такая функция $\varphi(x, y, t)$, что

$$u u_x + v u_y + p_x = \varphi_y, \quad u v_x + v v_y + p_y = -\varphi_x. \quad (1.7)$$

Подставляя эти соотношения в первые два уравнения (I.1), получим первые два уравнения системы (I.5). Пользуясь уравнением неразрывности из (I.1), перепишем эти два уравнения в виде:

$$\varphi_x = v_t + v \frac{\partial}{\partial x}(u_y - v_x), \quad \varphi_y = -u_t + v \frac{\partial}{\partial y}(u_y - v_x) \quad (1.8)$$

Это означает, что соотношение (I.6) имеет место не только на границе γ , но и всюду в $\bar{\Omega} \times [0, T]$.

Из (I.7) и уравнения неразрывности следует, что

$$\varphi_{xx} + \varphi_{yy} = u \frac{\partial}{\partial x}(u_y - v_x) + v \frac{\partial}{\partial y}(u_y - v_x).$$

Подставляя выражение $\frac{\partial}{\partial x}(u-v_x)$, $\frac{\partial}{\partial y}(u-v_x)$ из (I.8) в предыдущее, получим третье уравнение системы (I.5). Таким образом, действительно, с помощью решения первой задачи находится решение второй, причем, функция θ определяется из (I.7) с помощью квадратур.

Обратно, пусть u , v , θ - решение второй задачи (I.5) (I.6), (I.2), (I.4). Покажем, прежде всего, что функции u, v удовлетворяют уравнению неразрывности. Действительно, из первых двух уравнений (I.5) следует, что функция $\theta = u_x + v_y$ удовлетворяет уравнению

$$\theta_t = \nu(\theta_{xx} + \theta_{yy}). \quad (I.9)$$

Причем, в силу первого соотношения (I.4) имеет место начальное условие

$$\theta = 0, \quad t = 0, \quad (x, y) \in \bar{\Omega}. \quad (I.10)$$

Найдем граничное условие для θ . Дифференцируя соотношение (I.6) вдоль границы, получим

$$\frac{\partial \theta}{\partial t} = \tau_x[\nu(u_{xy} - v_{xx}) + \frac{\partial v}{\partial t}] + \tau_y[\nu(u_{yy} - v_{xy}) - \frac{\partial u}{\partial t}].$$

Здесь τ_x, τ_y - компоненты орта касательной к границе γ . С другой стороны, из первых двух уравнений (I.5) следует, что

$$\frac{\partial \theta}{\partial t} = \tau_x[\nu_t - \nu(v_{xx} + v_{yy})] + \tau_y[\nu(u_{xx} + u_{yy}) - u_t].$$

Приравнивая правые части выражений для $\frac{\partial \theta}{\partial t}$, найдем:

$$\tau_x \frac{\partial}{\partial y}(u_x + v_y) - \tau_y \frac{\partial}{\partial x}(u_x + v_y) = 0$$

или, что то же

$$\frac{\partial \theta}{\partial n} = 0, \quad (I.11)$$

где \vec{n} внутренняя нормаль к γ .

Таким образом, на решении u, v системы (I.5) функция θ удовлетворяет уравнению (I.9) при условиях (I.10), (I.11). Нетрудно видеть, что существует только тривиальное решение этой задачи $\theta = 0$, что и доказывает наше утверждение относительно выполнения уравнения неразрывности.

Из первых двух уравнений (I.5) и уравнения неразрывности следует, что в $\Omega \times [0, T]$ выполняются соотношения (I.8), то есть (I.6) имеет место всюду в $\bar{\Omega} \times [0, T]$. Дифференцируя его по x и y подставляя найденные выражения φ_x , φ_y в левую часть третьего уравнения (I.5), найдём:

$$u(u_{xy} - v_{xx}) + v(u_{yy} - v_{xy}) = \varphi_{xx} + \varphi_{yy}$$

или, пользуясь уравнением неразрывности, можем переписать его так:

$$\frac{\partial}{\partial x} [u(u_y - v_x)] + \frac{\partial}{\partial y} [v(u_y - v_x)] = \varphi_{xx} + \varphi_{yy}$$

Нетрудно видеть, что

$$\frac{\partial}{\partial x}(uv_y) = \frac{\partial}{\partial y}(uv_x), \quad \frac{\partial}{\partial y}(vv_x) = \frac{\partial}{\partial x}(vv_y),$$

поэтому предыдущее соотношение можно переписать в виде:

$$\frac{\partial}{\partial x}(uv_x + vv_x + \varphi_x) = \frac{\partial}{\partial y}(uv_y + vv_y - \varphi_y).$$

Но это означает, что существует функция $p(x, y, t)$, определяемая соотношениями

$$p_x = \varphi_y - uv_x - vv_y, \quad p_y = -\varphi_x - uv_y - vv_x \quad (I.12)$$

с точностью до аддитивной функции времени. Распорядившись этой функцией, можно удовлетворить условию (I.3).

Подставляя выражения φ_x , φ_y из (I.12) в первые два уравнения системы (I.5), получим первые два уравнения (I.1), что и завершает доказательство эквивалентности.

Аналогичное доказательство проходит и в стационарном случае. При этом задача формулируется так: найти функции u , v , φ , удовлетворяющие в Ω системе уравнений

$$\begin{aligned} \varphi_y &= v(u_{xx} + u_{yy}), \\ \varphi_x &= -v(v_{xx} + v_{yy}), \\ uv_x + v\varphi_y &= v(\varphi_{xx} + \varphi_{yy}). \end{aligned} \quad (I.13)$$

При условиях:

$$\begin{aligned}
 u &= U(x, y), & v &= V(x, y), \\
 \varphi &= v(u_y - v_x), & (x, y) &\in \gamma, \\
 \oint_{\gamma} (Udy - Vdx) &= 0.
 \end{aligned}
 \tag{I.14}$$

2. Были проведены расчеты некоторых стационарных течений вязкой несжимаемой жидкости при использовании уравнений (I.13), аналогом которых для всех внутренних точек являются следующие разностные уравнения:

$$\begin{aligned}
 v(fu_{ik} - 4u_{ik}) &= \frac{h}{2} (\varphi_{ik+1} - \varphi_{ik-1}), \\
 v(fv_{ik} - 4v_{ik}) &= \frac{h}{2} (\varphi_{i-1k} - \varphi_{i+1k}), \\
 v(f\varphi_{ik} - 4\varphi_{ik}) &= \eta \{ hU_{ik} [\alpha(\varphi_{i+1k} - \varphi_{ik}) + \\
 &+ (1-\alpha)(\varphi_{ik} - \varphi_{i-1k})] + hV_{ik} [\beta(\varphi_{ik+1} - \varphi_{ik}) + \\
 &+ (1-\beta)(\varphi_{ik} - \varphi_{ik-1})] \} + (1-\eta) \left\{ \frac{h}{2} u_{ik} (\varphi_{i+1k} - \right. \\
 &\left. - \varphi_{i-1k}) + \frac{h}{2} v_{ik} (\varphi_{ik+1} - \varphi_{ik-1}) \right\},
 \end{aligned}$$

где

$$f\varphi_{ik} = \varphi_{i+1k} + \varphi_{i-1k} + \varphi_{ik+1} + \varphi_{ik-1}.$$

При этом предполагается, что при $\eta = 1$:

$$\begin{aligned} \alpha &= 0 \text{ если } U_{ik} > 0, & \alpha &= 1 \text{ если } u_{ik} < 0, \\ \beta &= 0 \text{ если } V_{ik} > 0, & \beta &= 1 \text{ если } v_{ik} < 0. \end{aligned}$$

Это означает, что соответствующие производные аппроксимируются односторонними разностями. При $\eta = 0$ имеем аппроксимации центральными разностями.

Поставленная задача была реализована для равномерной сетки 14×14 . Причем, алгоритмы решения задачи предусматривают сетки и с большим числом узлов. Для решения разностных уравнений (2.1) применим схему расщепления. На первом полушаге

$t \in [n\tau, (n+1/2)\tau]$ решается система:

$$\begin{aligned} \frac{u^{n+1/2} - u^n}{\tau} &= \nu \frac{\Delta_1 \Delta_{-1}}{h^2} (u^n + u^{n+1/2}) - \frac{\Delta_2 + \Delta_{-2}}{2h} \varphi^n, \\ \frac{v^{n+1/2} - v^n}{\tau} &= \nu \frac{\Delta_1 \Delta_{-1}}{h^2} (v^n + v^{n+1/2}) + \frac{\Delta_1 + \Delta_{-1}}{2h} \varphi^n, \\ \frac{\varphi^{n+1/2} - \varphi^n}{\tau} &= \nu \frac{\Delta_1 \Delta_{-1}}{h^2} (\varphi^n + \varphi^{n+1/2}) + \\ &+ \eta \frac{u^n + u^{n+1/2}}{2} \left[\left(\alpha \frac{\Delta_1}{h} + (1-\alpha) \frac{\Delta_{-1}}{h} \right) (\varphi^n + \varphi^{n+1/2}) \right] - \\ &- (1-\eta) (u^n + u^{n+1/2}) \frac{\Delta_1 + \Delta_{-1}}{4h} (\varphi^n + \varphi^{n+1/2}). \end{aligned} \quad (2.2)$$

На втором полушаге $t = [(n+1/2)\tau, (n+1)\tau]$ - система:

$$\frac{u^{n+1} - u^{n+1/2}}{\tau} = v \frac{\Delta_2 \Delta_{-2}}{h^2} (u^{n+1/2} + u^{n+1}) - \frac{\Delta_2 + \Delta_{-2}}{2h} \varphi^{n+1/2},$$

$$\frac{v^{n+1} - v^{n+1/2}}{\tau} = v \frac{\Delta_2 \Delta_{-2}}{h^2} (v^{n+1/2} + v^{n+1}) + \frac{\Delta_1 + \Delta_{-1}}{2h} \varphi^{n+1/2}$$

$$\frac{\varphi^{n+1} - \varphi^{n+1/2}}{\tau} = v \frac{\Delta_2 \Delta_{-2}}{h^2} (\varphi^{n+1/2} + \varphi^{n+1}) - \eta \frac{v^{n+1/2} + v^{n+1}}{2} \quad (2.3)$$

$$\times \left[\left(\beta \frac{\Delta_2}{h} + (1-\beta) \frac{\Delta_{-2}}{h} \right) (\varphi^{n+1/2} + \varphi^{n+1}) \right] - \\ - (1-\eta) (v^{n+1/2} + v^{n+1}) \frac{\Delta_2 + \Delta_{-2}}{4h} (\varphi^{n+1/2} + \varphi^{n+1}).$$

Здесь:

Δ_1, Δ_2 - разностные операторы по направлениям x и y соответственно (правые разности):

Δ_{-1}, Δ_{-2} - левые разности;

$\Delta_1 + \Delta_{-1}, \Delta_2 + \Delta_{-2}$ - центральные разности;

$\Delta_1 \Delta_{-1}, \Delta_2 \Delta_{-2}$ - оператор, аппроксимирующий вторую производную.

Покажем, что выбранная схема обладает полной аппроксимативностью. Пусть

$$\frac{u^n + u^{n+1/2}}{2}, \quad \frac{v^n + v^{n+1/2}}{2}, \quad \frac{\varphi^n + \varphi^{n+1/2}}{2}$$

сходятся к функциям u, v, φ соответственно, а

$$u^n, v^n, \varphi^n \text{ и } u^{n+1/2}, v^{n+1/2}, \varphi^{n+1/2}$$

сходятся - к функциям \tilde{u} , \tilde{v} , $\tilde{\varphi}$ и $u^{1/2}$, $v^{1/2}$, $\varphi^{1/2}$.

Подставляя $\frac{u^n + u^{n+1/2}}{2}$, $\frac{v^n + v^{n+1/2}}{2}$ и $\frac{\varphi^n + \varphi^{n+1/2}}{2}$ в предельные уравнения (2.3), получим:

$$\begin{aligned} \tilde{u} &= u^{1/2} + 2\tau\nu \frac{\Delta_2 \Delta_{-2}}{h^2} u - \tau \frac{\Delta_2 + \Delta_{-2}}{2h} \varphi^{n+1/2}, \\ \tilde{v} &= v^{1/2} + 2\tau\nu \frac{\Delta_2 \Delta_{-2}}{h^2} v + \tau \frac{\Delta_1 + \Delta_{-1}}{2h} \varphi^{n+1/2}, \\ \tilde{\varphi} &= \varphi^{1/2} + 2\tau\nu \frac{\Delta_2 \Delta_{-2}}{h^2} \varphi - 2\eta\tau\nu \left[\beta \frac{\Delta_2}{h} + (1-\beta) \frac{\Delta_{-2}}{h} \right] \varphi - \\ &\quad - \tau(1-\eta) \nu \frac{\Delta_2 \Delta_{-2}}{h} \varphi. \end{aligned} \quad (2.4)$$

Подставляя значения \tilde{u} , \tilde{v} и $\tilde{\varphi}$ из (2.4) в предельные соотношения (2.2), найдем, что получившиеся в результате уравнения аппроксимируют исходные уравнения системы (I.13) с точностью $O(h^2)$, причем, порядок аппроксимации не зависит от параметра τ . По данной схеме был проведен ряд расчетов для прямоугольных областей с различными граничными условиями. На рис. I показаны линии тока для следующей задачи.

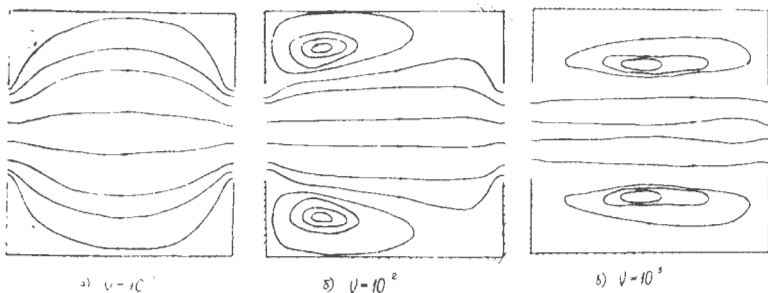


Рис. I

Начальные условия: $u_{i,m}^0 = v_{i,m}^0 = \varphi_{i,m}^0 = 0$

Граничные условия:

1. $U = I, \quad V = 0$ при $x = 0, \quad x = I, \quad \frac{1}{2} - \delta \leq y \leq \frac{1}{2} + \delta;$

2. $U = V = 0$ при $0 \leq x \leq 1, \quad y = 0, \quad \frac{1}{2} y = 1,$
 $x = 0, \quad \frac{1}{2} + \delta < y \leq 1, \quad 0 \leq y < \frac{1}{2} - \delta.$
 $x = 1, \quad \frac{1}{2}$

Расчеты велись при $\nu = 1, 10^{-1}, 10^{-2}$ и 10^{-3} ; $0 \leq \delta < \frac{1}{2}$.

Была решена также задача:

1. $U = \frac{1}{2\delta}$ при $x = 0,$
и $\frac{1}{2} - \delta \leq y \leq \frac{1}{2} + \delta;$

$U = -\frac{1}{2\delta}$ при $x = I,$

2. $U = \frac{1}{2\delta}$ при $y = 0$
и $\frac{1}{2} - \delta \leq x \leq \frac{1}{2} + \delta;$

$U = -\frac{1}{2\delta}$ при $y = I$

3. $U = V = 0$ при $x = 0, \quad x = I, \quad \frac{1}{2} + \delta < y \leq 1,$
 $0 \leq y < \frac{1}{2} - \delta,$
при $y = 0, \quad y = 1, \quad \frac{1}{2} + \delta < x \leq 1,$
 $0 \leq x < \frac{1}{2} - \delta.$

Вначале счёт велся для $Re = I$. После сходимости для данного Re велся счёт для увеличенного в 10 раз Re и за начальные данные брались уже насчитанные функции u^n, v^n, φ^n и $u^{n+1/2}, v^{n+1/2}, \varphi^{n+1/2}$ для меньшего Re . Таким образом, процесс счёта повторяется и для $Re=10^2, 10^3$. Сходимость определялась следующим образом.

$$\max_{i,m} \left| u_{i,m}^{n+1} - u_{i,m}^n \right| < \epsilon, \quad \max_{i,m} \left| v_{i,m}^{n+1} - v_{i,m}^n \right| < \epsilon.$$

Если для выхода на стационарное решение для чисел $Re = I, 10$ нужно 80 итераций (при $\epsilon = 10^{-6}$), то для $Re = 1000 - (2000 - 2500)$ итераций. Результаты расчётов сравнивались с двумя точными решениями.

В частности, для решения задачи Пуазейля полученный ре-

зультат расчета перепада давления в точках P_0 и P_N совпадает с точным для $Re = 10^3$ с точностью до 5 знаков, а для $Re = 1, 10$ - до 8 знаков.

Проведенные расчеты показали, что скорость сходимости процесса мало зависит от значения η , но предпочтение следует отдать $\eta = 0$. Особенно это видно в задаче для встречных потоков (рис. 2).

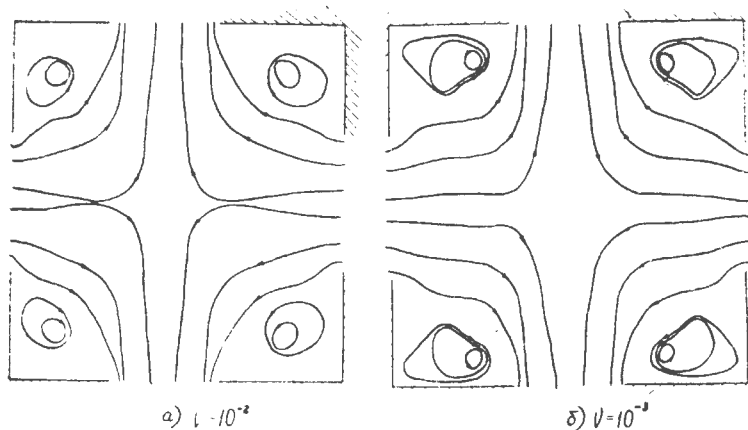


Рис. 2 .